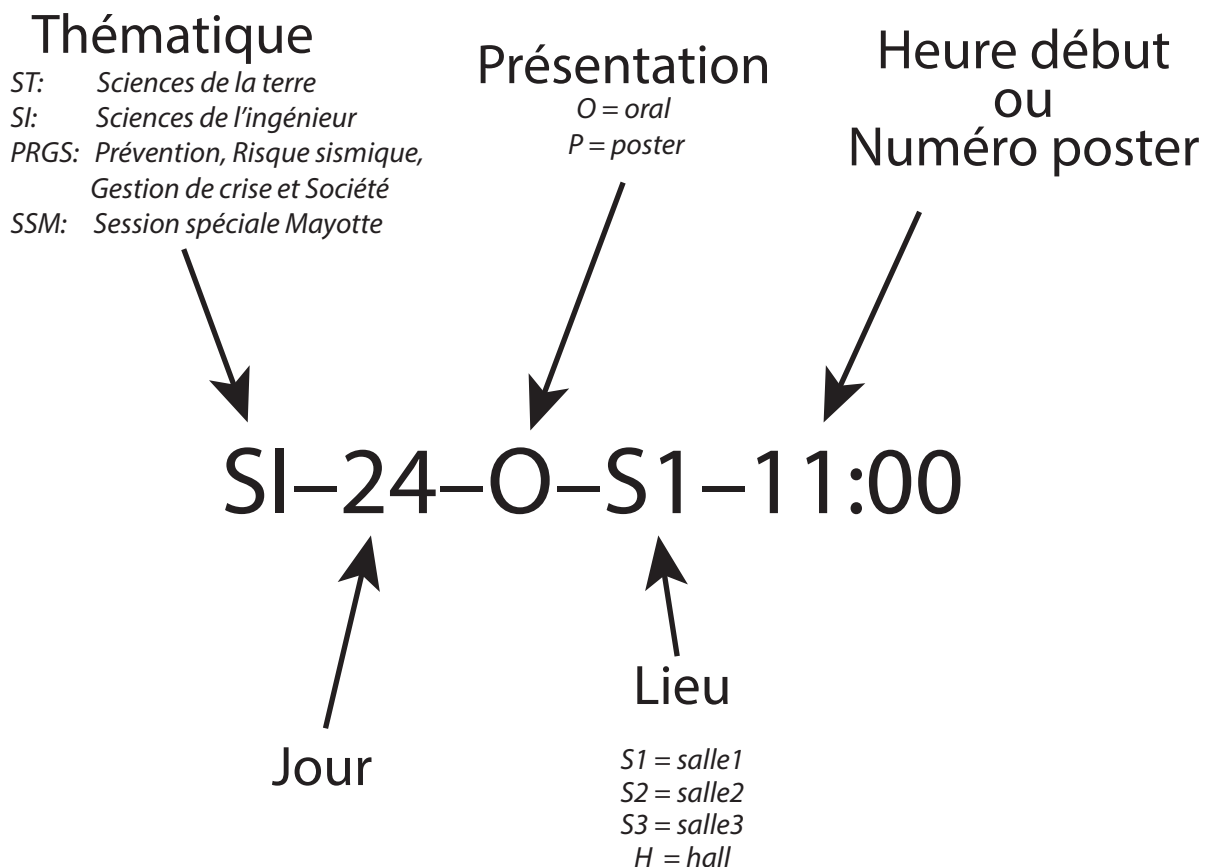


ST : Sciences de la terre
SI : Sciences de l'ingénieur
PRGS: Prévention, Risque sismique, Gestion de crise et
Société

Acronyme utilisé pour chaque présentation



Mardi, 24 septembre 2019

11:00-12:00 – Sessions orales

Salle	Thématique	Horaire	Titre
Salle 1	SI Synergie sismologie-analyse des structures	11:00- 11:20	SI-24-O-S1-11:00 : Estimation de la fonction de cohérence à partir des données sismiques <i>GUIZ Amine</i>
		11:20- 11:40	SI-24-O-S1-11:20 : Méthodologie pour l'actualisation de la magnitude d'un séisme historique <i>STOCCHI Alessandro, GIRY Cédric, ZENTNER Irmela, NAYMAN Emmanuelle, CAPDEVIELLE Sophie, FRÉDÉRIC Ragueneau, ALEXANDRE Sac-Morane</i>
		11:40- 12:00	SI-24-O-S1-11:40 : Séisme de MEXICO du 19 septembre 2017 : Etude de la double résonance sol-signal-structure sur les dommages aux structures <i>BRULE Stéphane, DESPREZ Cédric, RICHARD Benjamin</i>
Salle 2	ST Structures tectoniques	11:00- 11:20	ST-24-O-S2-11:00 : 3500 ans de sismicité historique le long du Main Frontal Thrust (Himalaya, Bhoutan) <i>LE ROUX-MALLOUF Romain, SABATIER Pierre, NOMADE Jérôme, CROUZET Christian, GUYOTON Fabrice</i>
		11:20- 11:40	ST-24-O-S2-11:20 : Development of Earthquake Recurrence Models from GNSS Velocity Field in Europe : Testing the Effects of Low Tectonic Deformation and Glacial Isostatic Adjustment <i>PIÑA-VALDÉS Jesús, SOCQUET Anne, BEAUVAL Céline, TARAYOUN Alizia</i>
		11:40- 12:00	ST-24-O-S2-11:40 : Sismo-tectonique de la France métropolitaine – Nouveaux modèles et impact sur l'aléa sismique <i>MAZZOTTI Stéphane, JOMARD Hervé, MASSON Frédéric</i>
Salle 3	SI Maçonnerie - Ouvrages particuliers	11:00- 11:20	SI-24-O-S3-11:00 : Evaluation du dommage et de la vulnérabilité sismique d'un bâtiment existant en maçonnerie <i>REMKI Mustapha, KEHILA Fouad, KIBBOUA Abderrahmane, KHELFI Mebarek</i>
		11:20- 11:40	SI-24-O-S3-11:20 : IMPACT DES MURS DE REMPLISSAGE EN MAONNERIE SUR LE COMPORTEMENT SISMIQUE NON LINEAIRE DES BATIMENTS EN PORTIQUES EN BETON ARME DIMENSIONNES SELON LE REGLEMENT PARASISMIQUE ALGERIEN (RPA99/VERSION2003) <i>BOUBAYA Abdelmadjid, CHEBILI Rachid</i>
		11:40- 12:00	SI-24-O-S3-11:40 : Conception et analyse de systèmes résistants couplant murs en maçonnerie et en béton <i>DEGÉE Hervé, VANDOREN Bram</i>

13:30-15:10 – Sessions orales

Salle	Thématique	Horaire	Titre
Salle 1	SI Géotechnique 1	13:30- 13:50	SI-24-O-S1-13:30 : Nouvelle essai pénétrométrique (CPT) avec chargement cyclique : approches numérique et expérimentale <i>HOSSEINI SADRABADI Hamid, CHAREYRE Bruno, SIBILLE Luc, DANO Christophe, RIEGEL Pierre</i>
		13:50- 14:10	SI-24-O-S1-13:50 : PML 3D hybrides asynchrones pour des problèmes de propagation d'ondes <i>LI Sijia, BRUN Michael, DJERAN-MAIGRE Irini, SERGEY Kuznetsov</i>
		14:10- 14:30	SI-24-O-S1-14:10 : Mise en cohérence de l'estimation de Gmax par les paramètres CPT'u avec celle à partir des paramètres de

			l'essai pressiométrique Ménard <i>CUINET Jean-Michel, FERREIRA Matthias, GRESS Jean-Claude</i>
		14:30-14:50	SI-24-O-S1-14:30 : Prédiction hybride d'un scénario sismique à large bande fréquentielle par simulation numérique and apprentissage machine <i>GATTI Filippo, CASTRO CRUZ David, SARA Touhami, MARTIN Colvez, ORAL Elif, COTTEREAU Régis, LOPEZ-CABALLERO Fernando, CLOUTEAU Didier</i>
		14:50-15:10	SI-24-O-S1-14:50 : Étude expérimentale en centrifugeuse du comportement d'un groupe de pieux sous séisme <i>PÉREZ Jesús, ESCOFFIER Sandra, KOTRONIS Panagiotis, CUIRA Fahd</i>
Salle 2	ST Mouvement sismique et simulation	13:30-13:50	ST-24-O-S2-13:30 : « Quand la Terre tremble » aujourd'hui ...à Mayotte <i>HUMLER Eric</i>
		13:50-14:10	ST-24-O-S2-13:50 : Les « ShakeMap » pour les territoires français : un produit pour la gestion de crise et un outil R&D pour l'estimation de l'aléa. <i>SCHLUPP Antoine, GRUNBERG Marc, BERTIL Didier, SCHAMING Marc, ULRICH Andréa</i>
		14:10-14:30	ST-24-O-S2-14:10 : Facteurs influençant le contenu haute-fréquence des enregistrements de mouvements sismiques <i>HOLLENDER Fabrice, MAUFROY Emeline, ROUMELIOTI Zafeiria</i>
		14:30-14:50	ST-24-O-S2-14:30 : Couplage hybride et asynchrone entre des codes aux éléments spectraux (SEM) et éléments finis (FEM) pour des problèmes d'interaction sol-structure <i>BRUN Michael, ZUCHOWSKI Loïc, DE MARTIN Florent, RICHART Nicolas, ANCIAUX Guillaume, MOLINARI Jean-François</i>
		14:50-15:10	ST-24-O-S2-14:50 : Vers des ShakeMaps par rétropropagation d'infrasons ? <i>HERNANDEZ Bruno, LE PICHON Alexis, VERGOZ Julien, HERRY Pascal, BOSSU Remy</i>
Salle 3	SI Bruit de fond	13:30-13:50	SI-24-O-S3-13:30 : Estimation de l'impact de travaux souterrains sur un plafond de ventilation de tunnel <i>RALLU Antoine, CARRIER Steve</i>
		13:50-14:10	SI-24-O-S3-13:50 : Retour d'expériences sur l'utilisation de la méthode d'analyse structurale des ouvrages sous bruit de fond <i>FONTAN Maxime, REGNIER Julie, MERCERAT Diego, PERRAULT Mathieu, VASSAIL Thierry, DAVI Denis</i>
		14:10-14:30	SI-24-O-S3-14:10 : Calibration de modèles numériques sur base modale par analyse inverse <i>FONTAN Maxime, THEVENIN Pierre-Eric, VASSAIL Thierry</i>
		14:30-14:50	SI-24-O-S3-14:30 : Séisme de Pedernales (Mw 7.8, Équateur, 2016) : mesures de vibrations ambiantes pré et post-sismiques effectuées sur des bâtiments de la ville de Quito (Équateur) <i>PERRAULT Matthieu, GUEGUEN Philippe, PARRA Gaston, SARANGO Johanna, BARROS Juan Gabriel, SINGAUCHO Juan Carlos</i>
		14:50-15:10	SI-24-O-S3-14:50 : Audit structural et analyse du comportement mécanique d'un aéroréfrigérant sous bruit de fond <i>FONTAN Maxime, ABOURI Salim, VASSAIL Thierry</i>
16:40-18:00 – Sessions orales			
Salle	Thématique	Horaire	Titre
Salle 1	SI	16:40-	SI-24-O-S1-16:40 : Proposition de bonnes pratiques pour

	Géotechnique 2	17:00	quantifier le risque de liquéfaction par la méthode simplifiée à partir d'essais in situ SPT et CPT <i>JAVELAUD Emmanuel, MOIRIAT Denis, SERRATRICE Jean-François, DUFOUR Nathalie, FOLLIARD Damien, FRY Jean-Jacques, GAAL Alexandre, HOCDE Manuel, MIRAILLET Pierre, REYNAUD Sébastien</i>
		17:00-17:20	SI-24-O-S1-17:00 : Influence de la fréquence de chargement sur le comportement cyclique du limon de Jossigny en conditions non-drainées <i>ÇAMI Kastriot, AHMAD Arslan, JEHEL Pierre</i>
		17:20-17:40	SI-24-O-S1-17:20 : Effet des signaux synthétiques sur les tassements induits par la liquéfaction <i>KHALIL Christina, LOPEZ CABALLERO Fernando</i>
		17:40-18:00	SI-24-O-S1-17:40 : Caractériser et prévenir la liquéfaction des sols sous les ouvrages : le projet ISOLATE <i>SEMBLAT Jean-François, REIFFSTECK Philippe, FOERSTER Evelyne, CANOU Jean, ESNAULT-FILET Annette, VOLDOIRE François</i>
Salle 2	ST Variabilité spatiale et hétérogénéités	16:40-17:00	ST-24-O-S2-16:40 : Analyse numérique des effets de la géologie locale et de la modélisation de la source sur la prédiction du mouvement du sol <i>TOUHAMI Sara, LOPEZ-CABALLERO Fernando, CLOUTEAU Didier</i>
		17:00-17:20	ST-24-O-S2-17:00 : Influence des hétérogénéités de la croûte terrestre sur l'atténuation haute fréquence des ondes sismiques : approche numérique <i>COLVEZ Martin, LOPEZ-CABALLERO Fernando, COTTEREAU Régis</i>
		17:20-17:40	ST-24-O-S2-17:20 : Variation spatiale des mouvements sismiques : contribution des conditions de site <i>KOUFOUDI Eleni, CORNOU Cécile, ZENTNER Irmela, EL HABER Elias, IMTIAZ Afifa</i>
Salle 3	SI Normalisation	16:40-17:00	SI-24-O-S3-16:40 : Évaluation de la performance sismique des piles de pont conçu avec le règlement parasismique Algérien RPOA 2008 <i>KEHILA Fouad, KIBBOUA Abderrahmane, REMKI Mustapha, BECHTOULA Hakim</i>
		17:00-17:20	SI-24-O-S3-17:00 : Complément au Guide méthodologique pour évaluer et assurer la tenue au séisme des canalisations de transport enterrées en acier <i>FERNANDEZ Charles, CANDE Raphael, LEROUX Benjamin</i>
		17:20-17:40	SI-24-O-S3-17:20 : Pour une ingénierie sismique sans spectre de réponse <i>LABBÉ Pierre</i>

Mercredi, 25 septembre 2019

08:15-09:15 – Sessions orales

Salle	Thématique	Horaire	Titre
Salle 1	SI Interaction sol-structure 1	08:15-08:35	SI-25-O-S1-08:15 : Une approche simplifiée d'ISS non linéaire pour la justification des fondations sous charge sismique <i>BURLON Sébastien, CUIRA Fahd</i>
		08:35-08:55	SI-25-O-S1-08:35 : Applications de la méthode hybride Laplace-Temps aux études d'interaction sol-structure non-linéaire <i>ALVAREZ-CUESTA Moises, MAKRYPIDI Théodora, CHATZIGOGOS Charisis</i>
		08:55-09:15	SI-25-O-S1-08:55 : Effet de site sur une extension offshore <i>HER Bertrand, RENOUD-LIAS Gaelle, TAHERZADEH Reza</i>
Salle 2	PRGS Exposition des enjeux et risque	08:35-08:55	PRGS-25-O-S2-08:35 : Modèle d'enquête de terrain pour collecter des caractéristiques du bâti collectif urbain <i>LEMAIRE Jean, DAVENNE Luc</i>
		08:55-09:15	PRGS-25-O-S2-08:55 : Démarche d'évaluation préliminaire du risque sismique sur le réseau routier structurant en région PACA <i>DAVI Denis</i>
Salle 3	SI Structures en béton armé 1	08:35-08:55	SI-25-O-S3-08:35 : Analyse de la dissipation dans des éléments de structures en béton armé <i>CHAMBREUIL Clotilde, HEITZ Thomas, GIRY Cédric, RAGUENEAU Frédéric</i>
		08:55-09:15	SI-25-O-S3-08:55 : Modélisation de l'amortissement dans les structures en béton armé sous séisme <i>VOLDOIRE François</i>

10:40-12:00 – Sessions orales

Salle	Thématique	Horaire	Titre
Salle 1	SI Approches probabilistes - Vulnérabilité	10:40-11:00	SI-25-O-S1-10:40 : Comportement expérimental et numérique de structures libres et flexibles sous séismes <i>BEYLAT Delphine, FEAU Cyril, CLAIR David, FOGLI Michel</i>
		11:00-11:20	SI-25-O-S1-11:00 : Sensibilité des indicateurs de performance selon la typologie structurale et la nature du modèle mécanique <i>STOCCHI Alessandro, RICHARD Benjamin</i>
		11:20-11:40	SI-25-O-S1-11:20 : Retour d'expérience sur les évaluations de la tenue au séisme de plusieurs hôpitaux des Alpes-Maritimes <i>THEVENIN Pierre-Eric, SEMELAIGNE Sébastien, BERTULI Roger, WAUTHY Pierre, JUVENELLE Fabien, CARDOSO Guy</i>
		11:40-12:00	SI-25-O-S1-11:40 : Détermination de l'Indice de résilience sismique des constructions en béton armé par la méthode de l'AHP : cas d'Algérie. <i>BELHEOUANE Fatma Imene, BENSAIBI Mahmoud, AMELLAL Omar, HALFAYA Fatma Zohra</i>
Salle 2	ST Catalogue	10:40-11:00	ST-25-O-S2-10:40 : Génération stochastique de catalogues sismiques pour le territoire français <i>GOUACHE Corentin, TINARD Pierre, MONTEL Jean-Marc</i>
		11:00-11:20	ST-25-O-S2-11:00 : Catalogue de sismicité instrumental unifié en Mw pour la France métropolitaine : la problématique des conversions de magnitude <i>LAURENDEAU Aurore, CLEMENT Christophe, SCOTTI Oona</i>
		11:20-11:40	ST-25-O-S2-11:20 : Automatic detection and machine learning-based discrimination of earthquakes in northwestern intraplate

			Europe using SeisComP3 and the AlpArray network <i>RENOUARD Alexandra, GRUNBERG Marc, DOUBRE Cécile, MAGGI Alessia</i>
		11:40-12:00	ST-25-O-S2-11:40 : Développement d'un catalogue de sismicité pour mener les études PSHA en contexte français <i>BAUMONT David, BENJUMEA Juan, LEOBAL Delphine, MARTIN Christophe, AMERI Gabriele</i>
Salle 3	SI Structures en béton armé 2	10:40-11:00	SI-25-O-S3-10:40 : Exemple d'application de la méthode en poussée progressive pour le diagnostic sismique d'un pont portique en béton armé <i>DAVI Denis</i>
		11:00-11:20	SI-25-O-S3-11:00 : Inelastic deformation ratios for estimating seismic demands of structures : SDOF bilinear systems <i>CHIKH Benazouz, MEBARKI Ahmed, HADID Mohamed, LAOUAMI Nacer</i>
		11:20-11:40	SI-25-O-S3-11:20 : Calculs pushover d'un bâtiment industriel sous chargements CQC <i>GOUJARD Nicolas, MOZAYAN Mahsa, MAFFI-BERTHIER Victor, FAIVRE Remi</i>
		11:40-12:00	SI-25-O-S3-11:40 : Projet MAESTRO: Estimation des coefficients de ductilité locale de voiles et planchers en béton armé à partir d'essais expérimentaux <i>HUGUET Miquel, DE MERSEMAN Jean, BOU-SAID Elias, ERLICHER Silvano, BISCH Philippe, GALLITRE Etienne</i>
14:10-15:10 – Sessions orales			
Salle	Thématique	Horaire	Titre
Salle 1	SI Interaction sol-structure 2	14:10-14:30	SI-25-O-S1-14:10 : Fondations profondes au séisme : Benchmark sur les calculs d'interaction sol-pieu-structure <i>SIMON Cyril, ROBY Matthieu, VANDEPUTTE Didrik, JACQUET Matthieu, DEVESA Georges, POTIN Gildas, FRAU Alberto, WYNIĘCKI Pierre</i>
		14:30-14:50	SI-25-O-S1-14:30 : Méthodologie et validation des modèles numériques d'interaction pieu-sol-structure à complexité croissante avec code_aster <i>CHERUBINI Stefano, DEVESA Georges, KORRES Michail, ALVES FERNANDES Vinicius, JACQUET Matthieu, SIMON Cyril</i>
		14:50-15:10	SI-25-O-S1-14:50 : Interaction dynamique sol-structure d'un groupe de pieux avec l'approche macroélément <i>PÉREZ Jesús, KOTRONIS Panagiotis, ESCOFFIER Sandra, CUIRA Fahd</i>
Salle 2	ST Évaluation des aléas sismiques	14:10-14:30	ST-25-O-S2-14:10 : Intégration du lissage spatial de la sismicité dans la détermination des taux d'activité en France métropolitaine <i>LÉOBAL Delphine, BAUMONT David, LE DORTZ Kristell, AMERI Gabriele, MARTIN Christophe</i>
		14:30-14:50	ST-25-O-S2-14:30 : SIGMA-2: Contributions R&D sur l'aléa sismique pour fiabiliser le dimensionnement des structures <i>DANIEL Guillaume</i>
		14:50-15:10	ST-25-O-S2-14:50 : Vers une caractérisation du mouvement sismique historique : une approche archéosismologique <i>MONTABERT Arnaud, LANCIERI Maria, CLEMENT Julien, LYON-CAEN Hélène, DESSALES Hélène</i>
Salle 3	SI Barrages 1	14:10-14:30	SI-25-O-S3-14:10 : Aspects de justification sismique du barrage de Védi et de ses ouvrages annexes <i>ANDRIAN Frédéric, DELARUELLE Benjamin, ST-PIERRE</i>

			<i>Stéphane</i>
		14:30-14:50	SI-25-O-S3-14:30 : Méthode linéaire équivalente étendue (X-ELM) : influence de l'amortissement matériau sur la réponse sismique 2D du barrage d'Aratozawa <i>KTEICH Ziad, ALVES FERNANDES Vinicius, KHAM Marc, LABBÉ Pierre, SEMBLAT Jean-François, KOLMAYER Philippe</i>
		14:50-15:10	SI-25-O-S3-14:50 : Évaluation de la vulnérabilité sismique d'une digue à la liquéfaction en utilisant des métamodèles <i>LOPEZ-CABALLERO Fernando</i>
16:40-18:00 – Sessions orales			
Salle	Thématique	Horaire	Titre
Salle 1	SI Interaction sol-structure 3	16:40-17:00	SI-25-O-S1-16:40 : Modèle de propagation 1DT-3C pour l'analyse des effets d'interaction sol-structure dans le bâtiment de la Préfecture de Nice <i>SANTISI D'AVILA Maria Paola, FARES Reine, GRANDE Pietro, DESCHAMPS Anne</i>
		17:00-17:20	SI-25-O-S1-17:00 : Prise en compte des efforts d'inertie dans le sol pour l'étude sismique des fondations superficielles <i>ABBOUD Youssef, BURLON Sébastien, CUIRA Fahd</i>
		17:20-17:40	SI-25-O-S1-17:20 : Modélisation de l'interaction structure-sol-structure pour les vérifications de non-interaction d'un ensemble de bâtiments en grande proximité <i>MAFFI-BERTHIER Victor, MA Ying, BATOU Abderrahim</i>
		17:40-18:00	SI-25-O-S1-17:40 : Structures sur fondations superficielles: faut-il proscrire une conception avec des décollements importants? <i>JALIL Wolfgang, JALIL Alan</i>
Salle 2	PRGS Suivi temps-réel innovant	16:40-17:00	PRGS-25-O-S2-16:40 : Sismocitoyen : un sismomètre dans votre salon. Le fossé Rhénan et la zone de Mulhouse pour cible. <i>SCHLUPP Antoine, CHAVOT Philippe, GRUNBERG Marc, BÈS DE BERG Maxime, JUND Helene, MASSON Frédéric, SCHMITTBUHL Jean, AJAK Fanny, HEIMLICH Christine, BODIN Cyrille, DRETZEN Remi, HERNANDEZ Alain</i>
		17:00-17:20	PRGS-25-O-S2-17:00 : Des citoyens capteurs pour contribuer à la caractérisation rapide de l'ampleur des séismes <i>AUCLAIR Samuel, BOULAHYA Faïza, GEHL Pierre, QUIQUE Robin, OUARET Rachid, BIRREGAH Babiga</i>
		17:20-17:40	PRGS-25-O-S2-17:20 : Création et Implémentation d'un Système de Feux de Signalisation pour la Stimulation d'un Réservoir Géothermal en Finlande <i>ADER Thomas</i>
Salle 3	SI Barrages 2	16:40-17:00	SI-25-O-S3-16:40 : Comportement au séisme des barrages en béton – recherches et développements engagés pour améliorer les méthodes de calcul et la compréhension des mécanismes <i>HUMBERT Nicolas, ROBBE Emmanuel, DIALLO Abdoul</i>
		17:00-17:20	SI-25-O-S3-17:00 : Etude statistique du glissement sous séisme des barrages poids <i>ELMOUMNI Soumaya, LABBE Pierre, NGUYEN Anh</i>
		17:20-17:40	SI-25-O-S3-17:20 : Analyse sismique non-linéaire du barrage poids de Pine Flat par linéarisation équivalente avec prise en compte de l'interaction sol-fluide-structure <i>STABILE André, LABBE Pierre, NGUYEN Anh</i>
		17:40-18:00	SI-25-O-S3-17:40 : Evolutions récentes dans l'analyse dynamique des barrages en béton <i>MOLIN Xavier, ANDRIAN Frédéric</i>

Jeudi, 26 septembre 2019

08:15-09:15 – Sessions orales

Salle	Thématique	Horaire	Titre
Salle 1	SI Réponse des structures 1	08:15-08:35	SI-26-O-S1-08:15 : Cartographies de spectres et d'accélérogrammes de planchers par méthodes RVT et fréquentielle <i>BANCI Fabien, TORRE Anaëlle, BERGER Julien, ZENTNER Irmela, LE CORVEC Véronique, CAUDRON Matthieu</i>
		08:35-08:55	SI-26-O-S1-08:35 : Nouveaux Critères de Découplage Dynamique entre Structures Primaire et Secondaire <i>FOUQUIAU Pierre-Vivien, BARBIER Frédéric, CHATZIGOGOS Charisis</i>
		08:55-09:15	SI-26-O-S1-08:55 : Comparaison des méthodes pseudo-statique et modale spectrale pour l'analyse de la tenue au séisme des groupes moto-pompes <i>AUDEBERT Sylvie, ROUSSEU Damien</i>
Salle 2	ST Effets de site et caractérisation	08:15-08:35	ST-26-O-S2-08:15 : Etude sismique spécifique de site recevant un ouvrage important et analyse des effets de la couche superficielle <i>MEZOUAR Nourredine, BENCHARIF Raouf, MEBARKI Abdelkader, LAOUAMI Nasser, BEDR Samir, KOUICI Wafa</i>
		08:35-08:55	ST-26-O-S2-08:35 : Analyse conjointe de données géotechniques et de données géophysiques pour la construction d'un modèle 3D du remplissage sédimentaire quaternaire de la basse Vallée du Var, Nice <i>ROHMER Ophélie, BERTRAND Etienne, MERCERAT Diego, REGNIER Julie, PERNOUD Michel, LANGLAUDE Philippe</i>
		08:55-09:15	ST-26-O-S2-08:55 : Impact de la simplification de maillage sur la simulation du mouvement du sol dans un modèle 2D de la basse vallée du Var <i>ANQUEZ Pierre, GLINSKY Nathalie, MERCERAT Diego, CUPILLARD Paul</i>
Salle 3	SI Conception	08:15-08:35	SI-26-O-S3-08:15 : Intégration des principes de conception parasismique dans un projet d'architecture : le cas exemplaire de la médiathèque de Sendaï <i>DE LA FOYE Alexandre</i>
		08:35-08:55	SI-26-O-S3-08:35 : Application des poutres mixtes treillis d'acier-béton dans les portiques poteau-poutre parasismique <i>TESSER Leopoldo, ARGENTONI Alessio</i>
		08:55-09:15	SI-26-O-S3-08:55 : Avancée déterminante dans la conception parasismique des hôpitaux <i>DAVIDOVICI Victor</i>

10:40-12:00 – Sessions orales

Salle	Thématique	Horaire	Titre
Salle 1	SI Réponse des structures 2	10:40-11:00	SI-26-O-S1-10:40 : Analyse pushover du pylône central du pont de Chacao <i>ZAHIR Omar, MAURIS Georges, PICH Bénédicte, CHEIKH MHAMED Aymen, JAKOBSEN Svein Eric</i>
		11:00-11:20	SI-26-O-S1-11:00 : Méthode d'analyse multi-modale en poussée progressive E-DVA pour des séismes à plusieurs composantes <i>ERLICHER Silvano, LHERMINIER Olivier, HUGUET Miquel</i>
		11:20-	SI-26-O-S1-11:20 : Pushover appliqué à l'étude d'une pile de

		11:40	pont sur pieux et comparaison avec la méthode d'analyse transitoire <i>JALIL Wolfgang, JALIL Alan</i>
		11:40-12:00	SI-26-O-S1-11:40 : Etude du comportement sismique d'une charpente métallique par poussée progressive <i>MARTIN Pierre-Olivier, VU Hoang-Tung, RODIER Anthony, BARGELLINI Renaud, SIFFERLIN Gilles</i>
Salle 2	SI Structures en béton armé 3	10:40-11:00	SI-26-O-S2-10:40 : Coques en béton armé et cisaillement hors plan avec loi de comportement globale non-linéaire <i>LHERMINIER Olivier, HUGUET Miquel, NEDJAR Boumediene, ERLICHER Silvano, ARGOUL Pierre</i>
		11:00-11:20	SI-26-O-S2-11:00 : Évolution de l'étanchéité de l'enceinte de confinement de l'ILL sous séisme <i>THÉNINT Thibaud, LE CORVEC Véronique, GUITTON Etienne, VEZIN Jean-Marc</i>
		11:20-11:40	SI-26-O-S2-11:20 : Etude du comportement sismique de nœuds d'ossature béton armé par modèles 3D volumiques non linéaires <i>SHAPAREVICH Yury, HAESSLER Quentin, VEZIN Jean-Marc, LANGEOIRE Alain</i>
		11:40-12:00	SI-26-O-S2-11:40 : Calculs non linéaires de maquettes de murs dans le cadre de la campagne d'essais de ductilité de murs d'EDF <i>GANDOMZADEH Ali, GALLITRE Etienne, VEZIN Jean-Marc</i>
Salle 3	PRGS Gestion de crise	10:40-11:00	PRGS-26-O-S3-10:40 : Quels outils de réponse rapide pour quels besoins? Vers une estimation rapide des pertes utile pour la gestion de crise <i>AUCLAIR Samuel, IASIO Christian, ALBANESE Vincenzo, BOZABALIAN Nathalie, CROCHET Emilie, IRIZARRY Janira, MATA Rosa, MÉRESSE Philippe, PAPA Filomena</i>
		11:00-11:20	PRGS-26-O-S3-11:00 : Plateforme d'évaluation post-sismique de dommages de bâtiments <i>MARTINEZ Francisco, GOULA Xavier</i>
		11:20-11:40	PRGS-26-O-S3-11:20 : Vers un outil partagé pour le suivi et la coordination des diagnostics bâtimentaires d'urgence <i>CROCHET Emilie, AUCLAIR Samuel, BALGIU Andrei, CERIANA MAYNERI Erika, CHASLUS Martin, IASIO Christian, MÉRESSE Philippe, VERRHIEST Ghislaine</i>
		11:40-12:00	PRGS-26-O-S3-11:40 : La cartographie rapide satellitaire au service de la gestion de crise sismique <i>CLANDILLON Stephen, BATTISTON Stéphanie, ALLENBACH Bernard, BENATIA Fahd, BRIANT Julien, CASPARD Mathilde, FAIVRE Robin, DE FRAIPONT Paul, GASTAL Véra, GIRAUD Henri, HUBER Claire, MAXANT Jérôme, MONTABORD Myldred, STUDER Mathias, THOLEY Nadine, YÉSOU Hervé</i>
13:30-15:30 – Sessions orales			
Salle	Thématique	Horaire	Titre
Salle 1	Session spéciale Mayotte	13:30-13:50	SSM-26-O-S1-13:30 : La crise volcano-tectonique de Mayotte. Mai 2018-Février 2019 <i>BERTIL Didier, LEMOINE Anne, ROULLÉ Agathe, BRIOLE Pierre</i>
		13:50-14:10	SSM-26-O-S1-13:50 : Le projet SISMAYOTTE : instrumentation pour le suivi de la sismicité à Mayotte <i>VAN DER WOERD Jérôme, FEUILLET Nathalie, LEMOINE Anne, LEMARCHAND Arnaud, DOUBRE Cécile, BERTIL Didier</i>
		14:10-14:30	SSM-26-O-S1-14:10 : La crise sismo-volcanique de Mayotte vu par des sismomètres fond de mer <i>CRAWFORD Wayne, SAUREL Jean-Marie, JACQUES Eric,</i>

			<i>LEMOINE Anne, AIKEN Chastity, FOIX Océane, KOWALSKI Philippe, LAURENT Angèle, FEUILLET Nathalie, DANIEL Romuald, LEMARCHAND Arnaud, PELLEAU Pascal, DEPLUS Christine, THINON Isabelle, VAN DER WOERD Jérôme, GELI Louis</i>
		14:30-14:50	SSM-26-O-S1-14:30 : Mission macrosismique de terrain à Mayotte : évaluation des « intensités macrosismiques équivalentes » après la séquence sismique principale de mai à juin 2018 <i>SIRA Christophe, SCHLUPP Antoine, BONTEMPS Martial, REGIS Edouard</i>
		14:50-15:10	SSM-26-O-S1-14:50 : Effets de site et altérites : observations à partir de la crise sismique de Mayotte <i>ROULLÉ Agathe, BERTIL Didier, COLOMBAIN Alison, FRANÇOIS Benjamin</i>
		15:10-15:30	SSM-26-O-S1-15:10 : Réponse gouvernementale face au phénomène tellurique exceptionnel impactant Mayotte <i>BENGOUBOU-VALÉRIUS Mendy</i>
Salle 2	SI Réponse des structures 3	13:30-13:50	SI-26-O-S2-13:30 : Determination of a building structural behaviour through the numerical modeling of seismic events. <i>BARUS Matthias, DALVERNY Olivier, FAYE Jean-Pierre, WELEMANE Héléne, MARTIN Carmen</i>
		13:50-14:10	SI-26-O-S2-13:50 : Vulnérabilité sismique de structures en béton armé avec prise en compte d'un endommagement au jeune-âge lors de l'accident sismique <i>JAAFARI Chaimaa, DELHOMME Fabien, BERTRAND David, GEORGIN Jean-François, GRANGE Stéphane</i>
		14:10-14:30	SI-26-O-S2-14:10 : Co-simulation explicite/implicite pour l'étude d'un pont roulant sous séisme <i>BRUN Michael, FEKAK Fatima, GRAVOUIL Anthony, DEPALE Bruno</i>
		14:30-14:50	SI-26-O-S2-14:30 : Techniques d'apprentissage automatique en tant que méthode pour résoudre des problèmes d'ingénierie sismique : Deux cas d'étude. <i>ARISTIZÁBAL Claudia, LÓPEZ-CABALLERO Fernando</i>
		14:50-15:10	SI-26-O-S2-14:50 : Etudes du comportement du bâtiment réacteur de l'Institut Laue Langevin sous séisme extrême par analyses push-over et transitoire non linéaire <i>VEZIN Jean-Marc, GUITTON Etienne, THÉNINT Thibaud</i>
Salle 3	PRGS Prévention	13:30-13:50	PRGS-26-O-S3-13:30 : ELEMENTS DE CAHIER DES CHARGES POUR LE DIAGNOSTIC ET LE RENFORCEMENT PARASISMIQUES <i>HAUSS Claude</i>
		13:50-14:10	PRGS-26-O-S3-13:50 : Plans de prévention multirisques à échelle régionale <i>KURTZ Robin, PLOTTO Pierre, PUYRAIMOND Jimmy, LEROY Nicole</i>
		14:10-14:30	PRGS-26-O-S3-14:10 : Prévention du risque de tsunami sur l'Arc Méditerranéen : une préparation active des acteurs locaux à faire face à un évènement <i>VERRHIEST-LEBLANC Ghislaine, HERVE Caroline, SABANIS Christos, SCHINDELE François</i>
		14:30-14:50	PRGS-26-O-S3-14:30 : Le risque sismique en France métropolitaine : Quels niveaux et quels enseignements ? <i>VIALLET Emmanuel, ZENTNER Irmela</i>

		14:50-15:10	PRGS-26-O-S3-14:50 : Guide méthodologique pour la quantification du risque et de la conformité sismique des bâtiments <i>DUNAND François, MOUROUX Pierre, BALGIU Andrei, BISCH Philippe, BOUCHON Marc, MARTIN Christophe, MARTIN Pierre Olivier, SOLLOGOUB Pierre, VIALLET Emmanuel</i>
16:40-17:40 – Sessions orales			
Salle	Thématique	Horaire	Titre
Salle 1	ST PSHA 1	16:40-17:00	ST-26-O-S1-16:40 : The influence of ground motion prediction equations for earthquakes in the Belgian Hainaut on seismic hazard in Belgium and northern France <i>VANNESTE Kris, CAMELBEECK Thierry, CIVIDINO Perrine, KAUFMANN Olivier, VAN CAMP Michel</i>
		17:00-17:20	ST-26-O-S1-17:00 : Elaboration of a Probabilistic seismic hazard map for the French metropolitan territory <i>DROUET Stéphane, SENFAUTE Gloria</i>
		17:20-17:40	ST-26-O-S1-17:20 : Probabilistic seismic hazard levels in France: influence of the source model choices <i>BEAUVAIL Céline, BARD Pierre-Yves, DANCIU Laurentiu</i>
Salle 2 2	SI Réponse des structures 4	16:40-17:00	SI-26-O-S2-16:40 : Formulation d'une plaque Mindlin-Reissner à cinématique enrichie <i>BITAR Ibrahim, RICHARD Benjamin</i>
		17:00-17:20	SI-26-O-S2-17:00 : Modélisation 2D de l'entrechoquement de structures soumises à un séisme <i>LANGLADE Thomas, DAVID Bertrand, STÉPHANE Grange, GABRIEL Candia</i>
		17:20-17:40	SI-26-O-S2-17:20 : Entrechoquement de dalles en béton armé pour des structures soumises à un chargement sismique <i>KRAHENBUHL AMBIEL Jose Henrique, BRUN Michael, FAYE Papa, THIBON Alfred, GRAVOUIL Anthony</i>
Salle 3	PRGS Séisme et société	16:40-17:00	PRGS-26-O-S3-16:40 : The damage assessment of cultural heritage buildings after an earthquake: a contribution from the CHEERS project <i>RIVET Florence, AUCLAIR Samuel, IASIO Christian, MERESSE Philippe, BOURRIER Frank, DE SAINT GERMAIN Ronan</i>
		17:00-17:20	PRGS-26-O-S3-17:00 : L'académie transfrontalière des risques <i>PETIT Patrice</i>
		17:20-17:40	PRGS-26-O-S3-17:20 : Perception du risque sismique et stratégies de préparation à Mendoza (Argentine) <i>BECK Elise, TREMEL Tanguy, QUIROGA Silvia, VIDELA Alejandrina</i>

Vendredi, 27 septembre 2019

08:15-09:15 – Sessions orales

Salle	Thématique	Horaire	Titre
Salle 1	SI Structures en béton armé 4	08:15-08:35	SI-27-O-S1-08:15 : Prise en compte de l'indice de ductilité pour évaluer la vulnérabilité sismique des piles de ponts <i>KIBBOUA Abderrahmane, KEHILA Fouad, HEMAIDI-ZOURGUI Nadjib, REMKI Mustapha</i>
		08:35-08:55	SI-27-O-S1-08:35 : Impact des méthodes d'analyse sismique sur le calcul du ferrailage d'un ouvrage <i>CADET Laurent, ROBY Matthieu, DAVENNE Luc</i>
		08:55-09:15	SI-27-O-S1-08:55 : Etude expérimentale de l'effet de la corrosion sur le comportement dynamique de poutres en béton armé <i>LEJOUAD Chaymaa, RICHARD Benjamin, MONGABURE Philippe, CAPDEVIELLE Sophie, RAGUENEAU Frédéric</i>
Salle 2	ST PSHA 2	08:15-08:35	ST-27-O-S2-08:15 : Retour d'expérience sur l'évaluation probabiliste de l'aléa sismique en application de l'arrêté du 15/02/2018 <i>MARTIN Christophe</i>
		08:35-08:55	ST-27-O-S2-08:35 : Réévaluation du Zonage de l'aléa sismique: Cas de l'Iran et de Téhéran <i>ZARE Mehdi, MEGHRAOUI Mustapha, HINDERER Jacques</i>
		08:55-09:15	ST-27-O-S2-08:55 : Analyse probabiliste de l'aléa déplacement en surface en contexte de faible sismicité <i>BAUMONT David, MARTIN Christophe, AMERI Gabriele, LE DORTZ Kristell</i>
Salle 3	PRGS Socio-économie du risque	08:15-08:35	PRGS-27-O-S3-08:15 : Assessing the performance of the French "CAT-NAT" insurance plan <i>POTHON Adrien, JOFFRAIN Mathis, GUEGUEN Philippe, BUISINE Sylvain, BARD Pierre-Yves</i>
		08:35-08:55	PRGS-27-O-S3-08:35 : Modélisation des conséquences socio-économiques d'un séisme à l'échelle urbaine. <i>DOLLET Cyrielle, GUEGUEN Philippe, JOYE Jean-François</i>
		08:55-09:15	PRGS-27-O-S3-08:55 : Evaluation déterministe et probabiliste du risque sismique en France métropolitaine <i>REY Julien, TINARD Pierre</i>

10:40-12:20 – Sessions orales

Salle	Thématique	Horaire	Titre
Salle 1	SI Atténuation des effets	10:40-11:00	SI-27-O-S1-10:40 : Aide au dimensionnement des amortisseurs visqueux – Impact de l'ajout d'amortisseurs visqueux sur les modèles de comportement dynamique de bâtiments <i>DINH Hai Nam, HANS Stephane, BOUTIN Claude</i>
		11:00-11:20	SI-27-O-S1-11:00 : Comportement mécanique d'une connexion dalle-voile BA renforcée par FRP sous chargement cyclique alterné <i>CHALOT Antoine, MICHEL Laurent, FERRIER Emmanuel, ROY Nathalie</i>
		11:20-11:40	SI-27-O-S1-11:20 : Typologie des métamatériaux sismiques <i>BRÛLÉ Stéphane, ENOCH Stefan, GUENNEAU Sébastien</i>
		11:40-12:00	SI-27-O-S1-11:40 : Méta-matériaux sismiques Les principes physiques à l'épreuve des contraintes d'ingénierie parasismique <i>BOUTIN Claude</i>
Salle 2	ST	10:40-	ST-27-O-S2-10:40 : Simulation numérique pour l'étude de la

	Simulation réponse de site	11:00	réponse sismique non-linéaire dans un bassin 3D <i>GLINSKY Nathalie, CHABOT Simon, MERCERAT Diego, BONILLA-HIDALGO Fabian</i>
		11:00-11:20	ST-27-O-S2-11:00 : Prédiction de la modulation non-linéaire des réponses de site: performance de différents modèles et proxies de site et de chargement <i>DERRAS Boumediene, BARD Pierre-Yves, REGNIER Julie, CADET Heloise</i>
		11:20-11:40	ST-27-O-S2-11:20 : Prédiction des facteurs d'aggravation 2D / 1D via quelques paramètres géomécaniques simples: une approche combinée simulation – réseau de neurones <i>BOUDGHENE-STAMBOULI Ahmed, AL-TFAILY Bilal, BARD Pierre-Yves, CHALJUB Emmanuel, MOCZO Peter, KRISTEK Jozef, STRIPAJOVA Svetlana, ZENDAGUI Djawad, DERRAS Boumédiène</i>
		11:40-12:00	ST-27-O-S2-11:40 : Caractérisation des volumes des zones de rupture des glissements de terrain sismo-induits <i>DOMÉJ Gisela, BOURDEAU Céline, LENTI Luca, MARTINO Salvatore, SEMBLAT Jean-François</i>
		12:00-12:20	ST-27-O-S2-12:00 : Caractérisation des conditions de site des stations du réseau accélérométrique permanent (RAP) : état des lieux <i>HOLLENDER Fabrice, CORNOU Cécile, CUSHING Marc-Edward, MAUFROY Emeline</i>
Salle 3	SI Caractérisation expérimentale	10:40-11:00	SI-27-O-S3-10:40 : Analyse modale opérationnelle de deux ponts à béquilles dans le Sud-Est de la France <i>RÉGNIER Julie, PERRAULT Matthieu, MERCERAT Diego, DAVI Denis</i>
		11:00-11:20	SI-27-O-S3-11:00 : Caractérisation expérimentale et modélisation numérique des jonctions voile-plancher dans les structures en béton armé sous séisme <i>HERVÉ-SECOURGEON Estelle, VOLDOIRE François, GATUINGT Fabrice, OLIVER-LEBLOND Cécile, WANG Fan, HERVE-SECOURGEON Guillaume, ESCOFFIER Florian, GUILLOUX Adrien, CHAUDAT Thierry</i>
		11:20-11:40	SI-27-O-S3-11:20 : C1SMA : un dispositif d'excitation in situ dédié à la caractérisation du comportement dynamique non linéaire de bâtiments voués à la démolition <i>DE LA FOYE Alexandre</i>
		11:40-12:00	SI-27-O-S3-11:40 : Response of embedded plates under tension and shear loads. A testing campaign at JRC Ispra. <i>COMBESCURE Didier, HANNA Gaston, ANTHOINE Armelle, PEGON Pierre, RUEDA Fernando, MELENDEZ Carlos, DOMINGUEZ Victor</i>

Mardi, 24 septembre 2019

15:10-16:40 – Sessions posters

Numéro	Thématique et session	Titre
Sciences de la Terre (Hall)		
P1	ST Structures tectoniques	ST-24-P-H-1 : Détection et identification de failles actives en Mongolie dans une zone de déformation modérée. Quels enseignements pour les études en France. <i>AL-ASHKAR Abeer, SCHLUPP Antoine, FERRY Matthieu</i>
P2		ST-24-P-H-2 : Apport de données de sismique réflexion pétrolière pour la connaissance des structures tectoniques dans le centre du Bassin de Paris <i>MANCHUEL Kevin, POULIQUEN Sylvain</i>
P3	ST Variabilité spatiale et hétérogénéités	ST-24-P-H-3 : Could ambient noise serve as a proxy measure of spatial variation of earthquake ground motion? <i>IMTIAZ Afifa, SALIBA Hiba, CORNOU Cécile</i>
P4		ST-24-P-H-4 : Effects of random heterogeneities on seismic ground motion : 2D numerical investigations <i>TCHAWE NZIAHA Flomin, GELIS Céline, BONILLA Fabian, LOPEZ-CABALLERO Fernando</i>
Sciences de l'Ingénieur (Hall)		
P5	SI Atténuation des effets	SI-24-P-H-5 : Renforcement de bâtiments existants par le système de dissipateurs d'énergie <i>TAYLOR Carlos</i>
P6		SI-24-P-H-6 : Evaluation et confortement parasismique d'un bâtiment industriel en Suisse <i>HANNEWALD Pia, LESTUZZI Pierino, ZENHAEUSERN Stephan, DUNAND François</i>
P7		SI-24-P-H-7 : Méthode rapide pour pré-dimensionner les caractéristiques d'amortisseurs visqueux dans un bâtiment soumis au séisme <i>DUFLOT Philippe</i>
P8	SI Géotechnique	SI-24-P-H-8 : Essais Cross Hole : Développements récents pour la réalisation et l'interprétation <i>BODARD Christophe, MATTIUZZO Jean-Luc</i>
P9		SI-24-P-H-9 : Évaluation des tassements post-liquéfaction à partir d'essais de laboratoire <i>BOUDET Florent, DUFOUR Nathalie</i>
P10		SI-24-P-H-10 : PROGRAMME INFORMATIQUE BASE SUR UNE FORMULATION MATRICIELLE POUR L'ANALYSE DE LA REPONSE SISMIQUE DES PROFILS DE SOL <i>BENCHARIF Raouf, ZAHAFI Amna, MEZOUAR Nourredine, HADID Mohamed</i>
P11		SI-24-P-H-11 : Effets des hétérogénéités du sol sur ses réponses sismiques en champ libre <i>MESSAOUD Akila, LAOUAMI Nasser, MEZOUAR Nourredine, HADID Mohamed</i>
P12		SI-24-P-H-12 : Estimation d'un facteur de saturation partielle à partir de résultats au dilatomètre plat sismique (SPDMT): évaluation de la liquéfaction après le séisme de 2012 en Emilie (Italie) <i>SARA Amoroso, CESARE Comina, DIEGO Marchetti</i>
P13		SI-24-P-H-13 : Etude comparative entre méthodes simplifiée et dynamique non linéaire pour l'estimation du potentiel de liquéfaction des sols) <i>FILALI Kamel</i>

P14	SI Interaction sol-structure	SI-24-P-H-14 : Effets de l'Interaction Non linéaire Sol de Remblai-Culée sur les Demandes Sismiques des Ponts Routes <i>OUANANI Mouloud, SANDJAK Khaled, TILIOUINE Boualem</i>
P15		SI-24-P-H-15 : Impact de la définition du mouvement sismique 3D à l'aide d'un modèle physique sur les études d'interaction sol-structure <i>KORRES Michail, GATTI Filippo, ALVES FERNANDES Vinicius, LOPEZ CABALLERO Fernando, ZENTNER Irmela, VOLDOIRE Francois</i>
P16		SI-24-P-H-16 : Propagation d'ondes sismiques en présence de bâtiments sur fondations profondes <i>PHAM Kim, MAUREL Agnès, GUENNEAU Sébastien, SEMBLAT Jean-François, MARIGO Jean-Jacques</i>
P17		SI-24-P-H-17 : Influence de la présence de couches liquéfiables sur la réponse sismique de parois moulées <i>CHATZIGOGOS Charisis, WANNING Wang, NAZÉ Pierre-Alain</i>
Prévention, Risque sismique, Gestion de crise et Société (Hall)		
P18	PRGS Exposition des enjeux et risque	PRGS-24-P-H-18 : Simulation et prédiction sismique des ensembles urbains avec une approche SMA (Systèmes Multi-Agents). Le système « RISK-DZ». <i>AOUANE Abderrahim, RAHAL Driss Djaouad</i>
P19		PRGS-24-P-H-19 : Estimation de vulnérabilité sismique à l'échelle urbaine: Cas du Grand-Blida (Algérie) <i>BOUKRI Mehdi, FARSI Mohammed Naboussi, MEBARKI Ahmed</i>
P20	PRGS Suivi temps-réel innovant	PRGS-24-P-H-20 : POCRISC INTERREG Project: towards near-real-time damage estimation in cross-border French-Spanish-Andorra region <i>NEGULESCU C. , IRIZARRY J., TELLEZ-ARENAS A. , JARA J. A. , SMAI F. , BERTIL D.</i>

Mercredi, 25 septembre 2019

15:10-16:40 – Sessions posters

Numéro	Thématique et session	Titre
Sciences de l'Ingénieur (Hall)		
P1	SI Approches probabilistes - Vulnérabilité	SI-25-P-H-1 : Etude paramétrique de la vulnérabilité sismique des structures en aciers <i>AMELLAL Omar, BENSAIBI Mahmoud</i>
P2		SI-25-P-H-2 : Effet de la variabilité spatiale des propriétés linéaires du sol sur la fonction de cohérence du mouvement sismique en surface <i>EL HABER Elias, CORNOU Cécile, JONGMANS Denis, LOPEZ-CABALLERO Fernando, YOUSSEF ABDELMASSIH Dalia, AL-BITTAR Tamara</i>
P3		SI-25-P-H-3 : Modélisation des dommages sismiques à Beyrouth (Liban) combinant les comportements du sol et du bâti <i>ISKANDAR Rouba, AL-TFAILY Bilal, SALAMEH Christelle, BARD Pierre-Yves, GUILLIER Bertrand, CORNOU Cécile, GÉRARD Jocelyne, HARB Jacques, BECK Elise, DUGDALE Julie</i>
P4		SI-25-P-H-4 : Un modèle d'évaluation de la vulnérabilité sismique du bâti existant selon l'Eurocode <i>LEMAIRE Jean, DAVENNE Luc</i>
P5	SI Barrages	SI-25-P-H-5 : Calibrage du modèle numérique de référence d'un barrage en remblai par vibrations ambiantes et algorithme génétique <i>SI-CHAIB Abdelghani, BOURAHLA Nouredine, BASTA Yacine, SAHRAOUI Fatima-Zohra, DJABALI Hafida</i>
P6	SI	SI-25-P-H-6 : Real-aperture radar vs. accelerometer comparison for

	Bruit de fond	modal parameter identification in buildings <i>ALVA Rodrigo, PUJADES Luis, GONZÁLEZ-DRIGO Ramón, LUZI Guido, CASELLES Oriol, PINZÓN Luis</i>
P7	SI Caractérisation expérimentale	SI-25-P-H-7 : Investigation expérimentale sur les performances sismiques d'une façade en pierre naturelle <i>AKNOUCHE Hassan, AIROUCHE Abdelhalim, BECHTOULA Hakim</i>
P8	SI Maçonnerie - Ouvrages particuliers	SI-25-P-H-8 : Outil SisQuai pour l'analyse paramétrique simplifiée de la vulnérabilité sismique des structures de quai courantes <i>DAVI Denis</i>
P9		SI-25-P-H-9 : Calcul des ponts en maçonnerie sous sollicitations sismiques : de la loi de comportement au calcul de structures <i>TISSERAND Pierre-Jean, GIRY Cédric, NGUYEN Thi Thanh Huyen, RAGUENEAU Frédéric</i>
P10		SI-25-P-H-10 : Le patrimoine architectural Constantinois face aux risques sismiques <i>SAKER Randa , BOUFENARA Khedidja</i>
P11		SI-25-P-H-11 : LA MECA, Fixations lourdes en Zone sismique sous Appréciation Technique Expérimentale du CSTB <i>MOOS Mickael, HOUCHAT Fahem</i>
P12		SI-25-P-H-12 : Performance Based Design : Application au dimensionnement sismique des ouvrages portuaires <i>ROBY Matthieu, GIRAUD Lucien</i>
P13	SI Normalisation	SI-25-P-H-13 : Peut-on éviter l'effondrement de bâtiments lors d'un séisme ? <i>TAYLOR Carlos</i>
Prévention, Risque sismique, Gestion de crise et Société (Hall)		
P14	PRGS Exposition des enjeux et risque	PRGS-25-P-H-14 : ÉVALUATIONS DES PERTES SISMQUES DE LA VILLE DE BYBLOS <i>MAKHOUL Nisrine</i>
P15	PRGS Gestion de crise	PRGS-25-P-H-15 : Gestion du risque sismique en Andorre <i>GALLEGO Natàlia, PONS Cristian, GOULA Xavier</i>
P16		PRGS-25-P-H-16 : Séisme de Lombok 2018 : retour de la mission post-sismique AFPS <i>GOSSELIN Mylène, HEMART Catherine, SENFAUTE Gloria, LOPEZ-CABALLERO Fernando, FRANCO Carolina, PHOTON Adrien, STOCCHI Alessandro</i>
P17	PRGS Séisme et Société	PRGS-25-P-H-17 : Organisation des missions post-sismiques de l'Association Française de Génie Parasismique <i>DUJARRIC Céline, NAZÉ Pierre- Alain, VIALLET Emmanuel, COMBESURE Didier</i>

Jeudi, 26 septembre 2019

15:10-16:40 – Sessions posters

Numéro	Thématique et session	Titre
Sciences de la Terre (Hall)		
P1	ST Effets de site et caractérisation	ST-26-P-H-1 : Recommandations pour la caractérisation des sites : résultats des enquêtes du projet SERA <i>CORNOU Cécile, CULTREERA Giovanna, DI GIULIO Giuseppe, BARD Pierre-Yves</i>
P2	ST PSHA	ST-26-P-H-2 : An alternative seismotectonic zonation for probabilistic and deterministic seismic hazard assessment for Metropolitan France

		<i>LE DORTZ Kristell, COMBES Philippe, CARBON David</i>
P3		ST-26-P-H-3 : Comparison of catalog-based and geodesy-based earthquake recurrence models for the subduction zone in Ecuador, impact on PSHA. <i>MARINIÈRE Judith, BEAUVAL Céline, NOCQUET Jean-Mathieu, YEPES Hugo</i>
P4		ST-26-P-H-4 : Evaluation des impacts par des analyses de sensibilité de l'aléa sismique probabiliste : application sur le territoire français <i>SENFAUTE Gloria, PAGANI Marco</i>
P5	ST Simulation réponse de site	ST-26-P-H-5 : Calibration de lois d'atténuation par simulation de propagation d'ondes sismiques <i>GOUACHE Corentin, CUPILLARD Paul, TINARD Pierre</i>
P6		ST-26-P-H-6 : Apport des enregistrements sismologiques dans la prédiction du comportement non-linéaire des sols sous sollicitation sismique. <i>CASTRO CRUZ David Alejandro, BERTRAND Etienne, RÉGNIER Julie, COURBOULEX Françoise</i>
P7		ST-26-P-H-7 : Analyse des effets topographiques de pente sur la réponse sismique <i>MESSAOUDI Akila, MEZOUAR Nouredine, LAOUAMI Nasser, HADID Mohamed</i>
P8	ST Évaluation des aléas sismiques	ST-26-P-H-8 : L'Action Transverse Sismicité RESIF <i>MASSON Frédéric, GRUNBERG Marc, MAZET-ROUX Gilles, LAMBOTTE Sophie, HERNANDEZ Bruno, SIRA Christophe, AUCLAIR Samuel, SCHLUPP Antoine, BERTIL Didier, MAZZOTTI Stéphane, JOMARD Hervé</i>
P9		ST-26-P-H-9 : ANR EXAMIN: Advances in the characterisation of spatial variability of local subsoil for fragility and regional risk analyses <i>ZENTNER Irmela, CORNOU Cécile, DE MARTIN Florent</i>
P10		ST-26-P-H-10 : Les événements sismiques des 10 dernières années enregistrés par le CEA/LDG : implication pour l'aléa sismique de la France métropolitaine <i>DUVERGER Clara, GILLES Mazet-Roux, LAURENT Bollinger, YVES Cansi, BRUNO Hernandez</i>
P11		ST-26-P-H-11 : Plan de prévention multirisques à échelle régionale : Province de Taza, Maroc <i>KURTZ Robin, PLOTTO Pierre, PUYRAIMOND Jimmy, LEROY Nicole</i>
Sciences de l'Ingénieur (Hall)		
P12	SI Réponse des structures	SI-26-P-H-12 : Nonlinear response of high-rise buildings subjected to rocking motion induced by passage of Rayleigh waves <i>MEZA-FAJARDO Kristel, PAPAGEORGIOU Apostolos</i>
P13		SI-26-P-H-13 : 3D numerical FE simulation of the inelastic deformation and mode of failure in knee bracing systems <i>ELAICHI Abdelwahab, BOURAHLA Nouredine</i>
P14		SI-26-P-H-14 : Une technique d'homogénéisation appliquée aux bâtiments périodiques <i>FRANCO Carolina, CHESNAIS Céline, SEMBLAT Jean-François, DESPREZ Cédric, GIRY Cédric,</i>
P15		SI-26-P-H-15 : Comportement dynamique des ponts roulants – Benchmark International <i>BITAR Ibrahim, RICHARD Benjamin, VIALLET Emmanuel</i>
P16	SI Structures en béton armé	SI-26-P-H-16 : La performance sismique des poteaux en béton armé sous un renforcement transversal variable <i>AIT BELKACEM Mounir, BECHTOULA Hakim, BOURAHLA Nouredine, AIT BELKACEM Adel</i>

P17		SI-26-P-H-17 : Identification expérimentale sous vibration ambiante des fréquences propres des gradins du nouveau stade de 40 000 places de Baraki, Alger <i>AIROUCHE Abdelhalim, BENKACI Nassima, ABBES Khadidja, AKNOUCHE Hassan, BECHTOULA Hakim</i>
P18		SI-26-P-H-18 : Influence de la forme de distribution verticale des charges sismique et l'élançement sur l'évaluation bidirectionnelle du facteur de comportement global (R) des structures en portiques en béton armé avec murs de remplissage en maçonnerie dimensionnées selon le règlement parasismique algérien (RPA99/VERSION2003) <i>BOUBAYA Abdelmadjid, CHEBILI Rachid</i>
P19		SI-26-P-H-19 : Impact des choix de conception d'un maître d'œuvre sur des cartes de ferrailage <i>CADET Lauent, REYMOND Florence, DAVENNE Luc</i>
P20		SI-26-P-H-20 : Évaluation de l'influence des murs de remplissage en maçonnerie non armée sur la réponse sismique des bâtiments en portiques de béton armé. <i>MEKAOUI Nabil, SAITO Taiki</i>
P21		SI-26-P-H-21 : Effet de degré de performance du béton sur la fragilité sismique des ponts <i>DJEMAI Mohamed Cherif, BENSAIBI Mahmoud</i>
P22		SI-26-P-H-22 : Effet du type de modélisation de l'amortissement visqueux sur la réponse sismique de bâtiments en BA <i>BABA HAMED Fatima Zohra, DAVENNE Luc</i>
P23		SI-26-P-H-23 : La performance sismique des poteaux en béton armé sous un renforcement transversal variable <i>AIT BELKACEM Mounir, BECHTOULA Hakim, BOURAHLA Nouredine, AIT BELKACEM Adel</i>
Prévention, Risque sismique, Gestion de crise et Société (Hall)		
P24	PRGS Prévention	PRGS-26-P-H-24 : Le centre pyrénéen des risques majeurs et la maison de la connaissance du risque sismique, deux outils essentiels pour la prévention du risque sismique. <i>GUILHOT Oriane, SÉNÉCHAL Guy, SYLVANDER Matthieu, SIRA Christophe</i>
P25	PRGS Socio-économie du risque	PRGS-26-P-H-25 : 33 ans d'expertise sismologique pour la procédure de reconnaissance de catastrophe naturelle <i>SIRA Christophe, SCHLUPP Antoine, SCHAMING Marc, MASSON Frédéric</i>
P26		PRGS-26-P-H-26 : Les représentations sociales du risque <i>FROMENT Nathalie</i>
P27		PRGS-26-P-H-27 : La vulnérabilité socio-économiques et la fabrication de la catastrophe sismique de 2003 : le cas des communes de la wilaya de Bomuerdes <i>SEHILI Farida</i>